Vie de la fibre dans l'élaboration des polymères chargés. Particularité de l'utilisation des fibres végétales

M. Vincent, T. Budtova, R. Valette, B. Vergnes

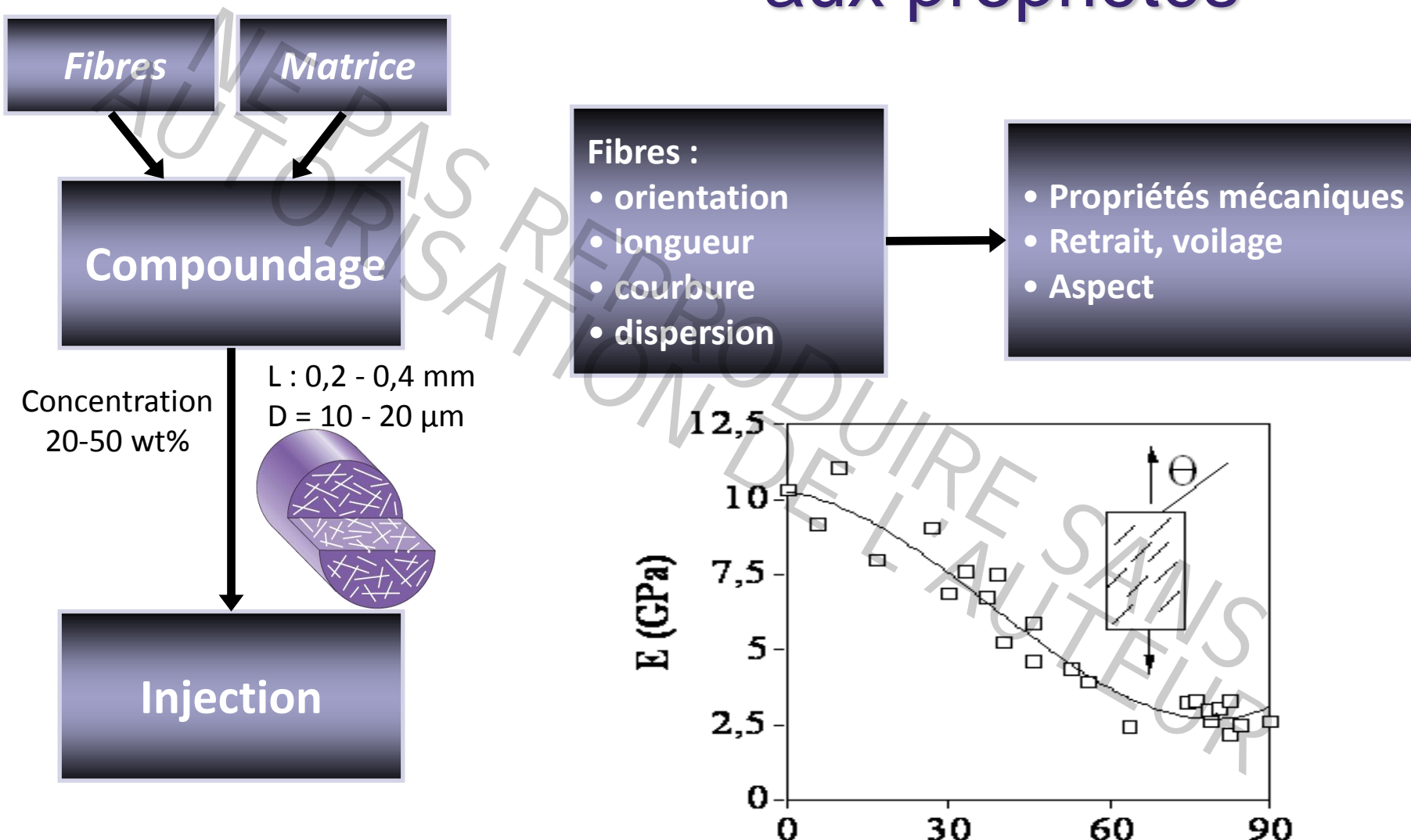
Cemef, MINES ParisTech, UMR CNRS 7635 Sophia Antipolis

Associés : P. De Micheli, A. Durin, F. Inceoglu, P. Laure, A. Le Duc, N. Le Moigne, L. Silva, J. Ville

Chaire bioplastiques : Arkema, l'Oreal, Nestle, PSA et Schneider Electric

Des constituants aux propriétés

Angle 0

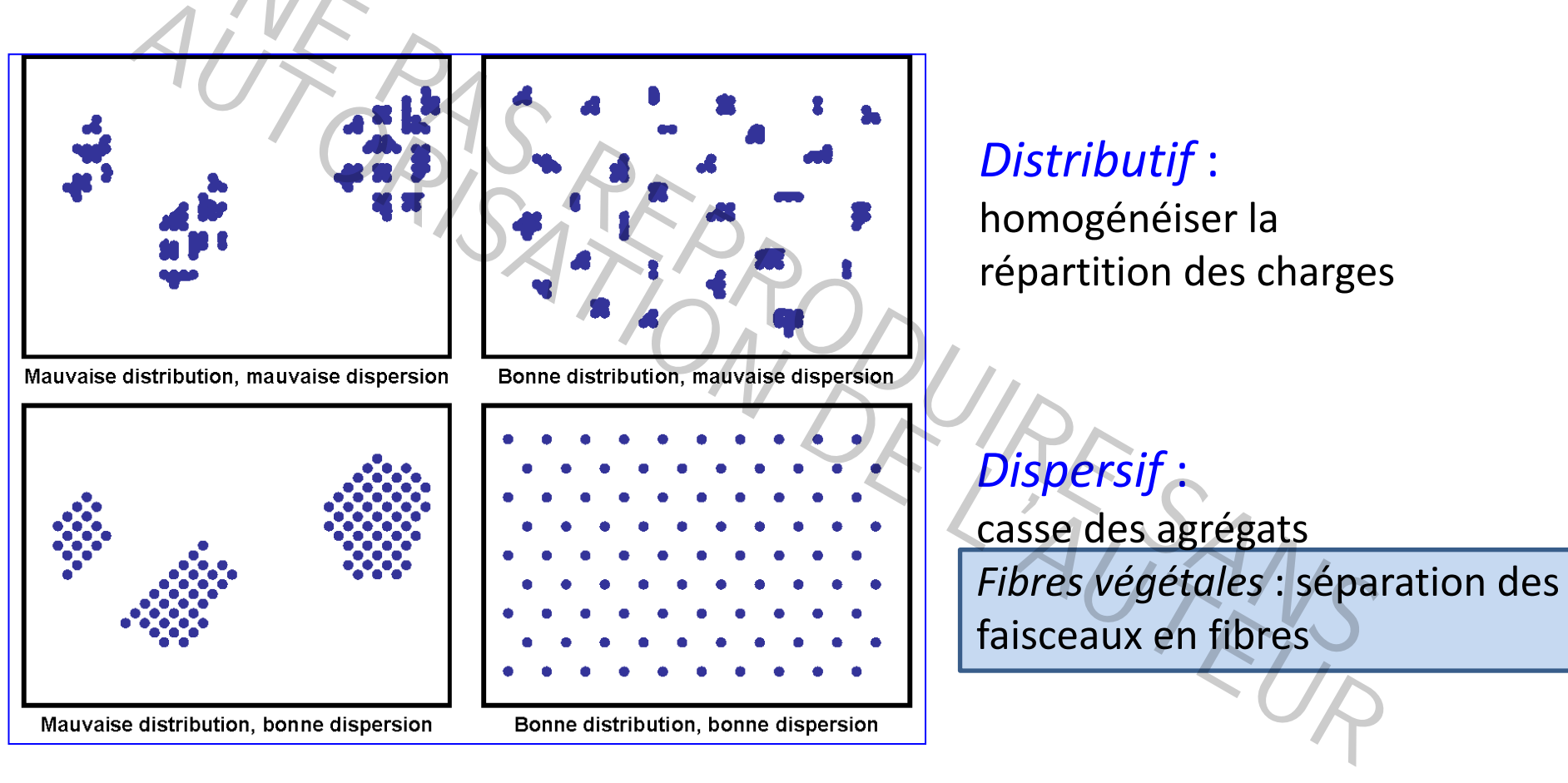


Plan

- ☐ Réalisation du mélange fibres matrice
 - L'extrusion bivis
 - o Fibres de verre : longueur, mécanismes de casse
 - o Fibres végétales: longueur, mécanismes de casse
- ☐ Mise en forme par injection
 - L'injection
 - Fibres de verre :
- Taux de fibres
- Longueur
- Orientation
- Les fibres végétales

Le compoundage : réalisation du semi produit

Deux types de mélange :



en minimisant la casse des fibres

L'extrusion bivis

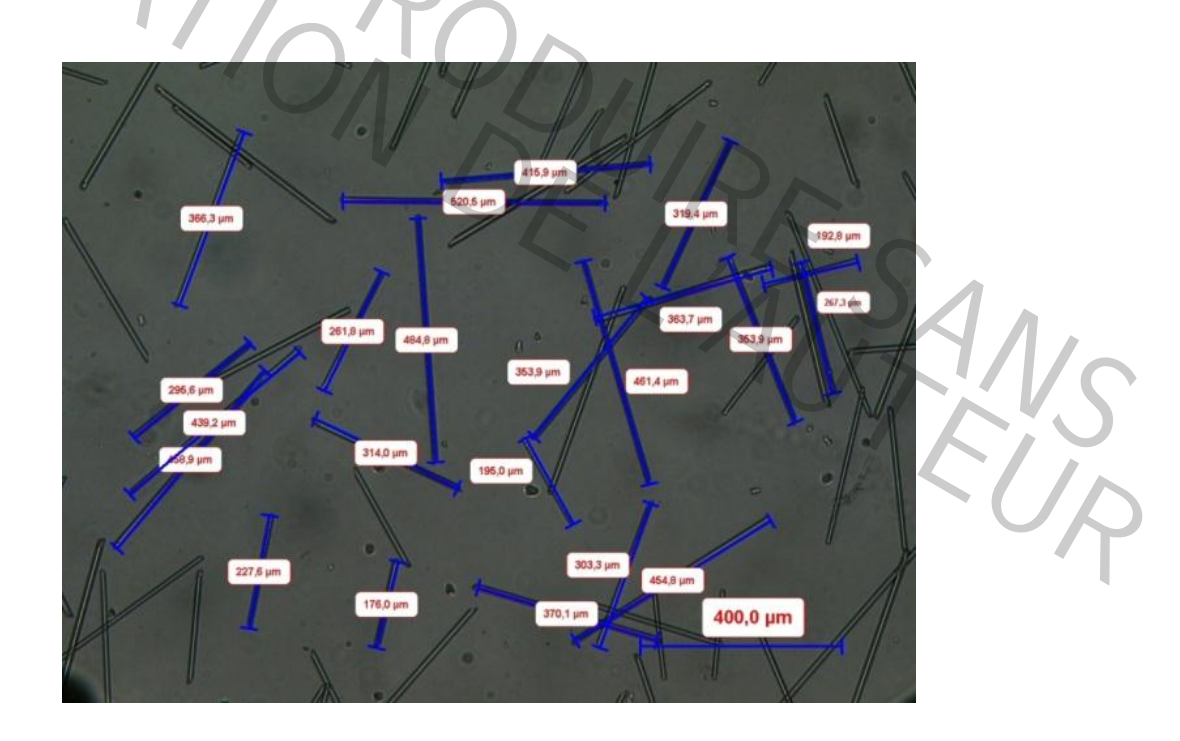




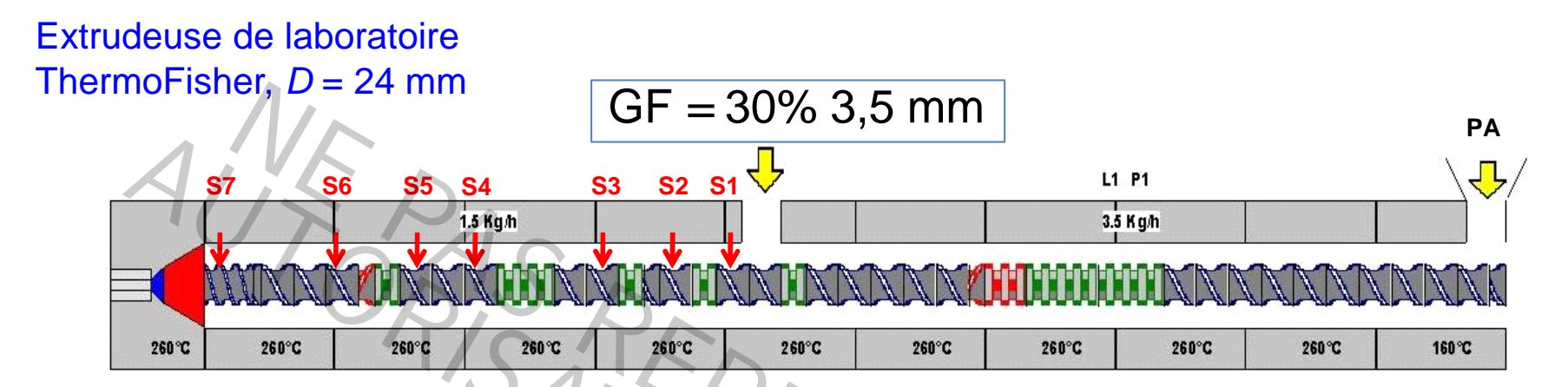
Vers le granulateur

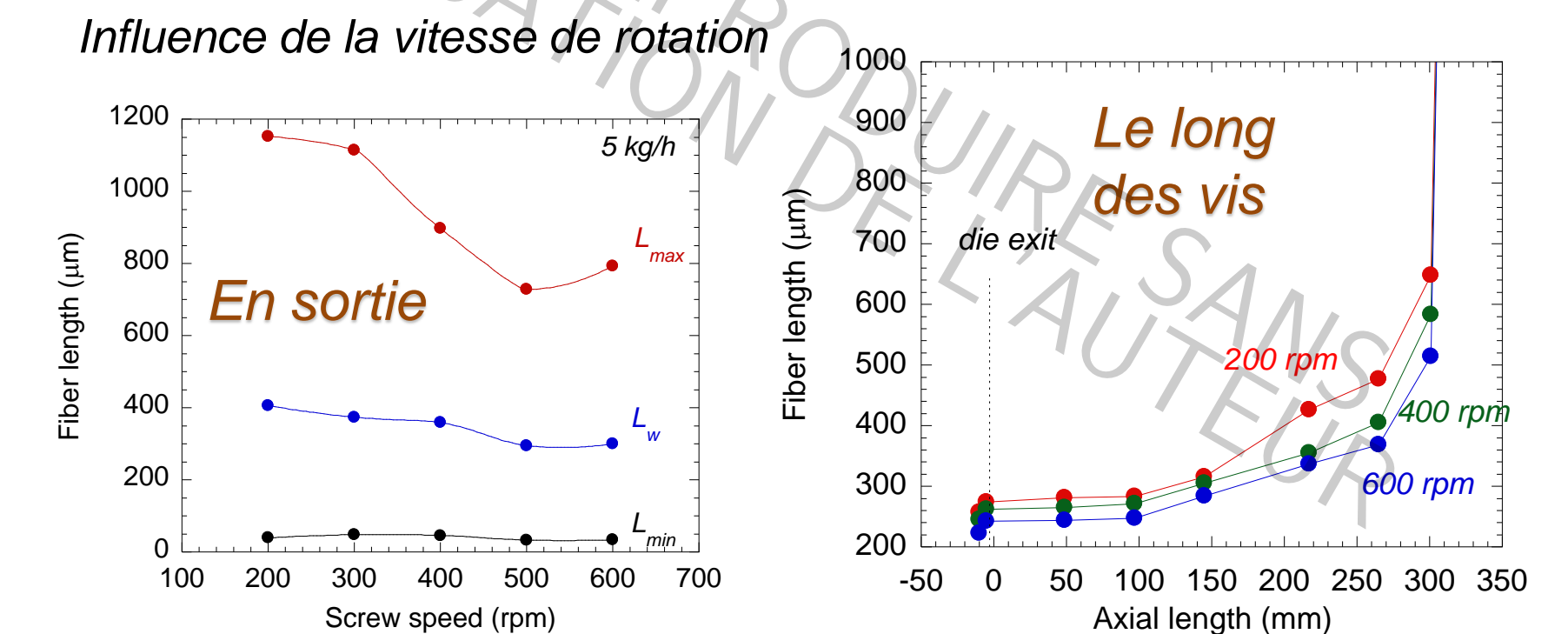
Fibres de verre

Evolution de la longueur en extrusion bivis Mécanismes de casse



Longueur des fibres de verre



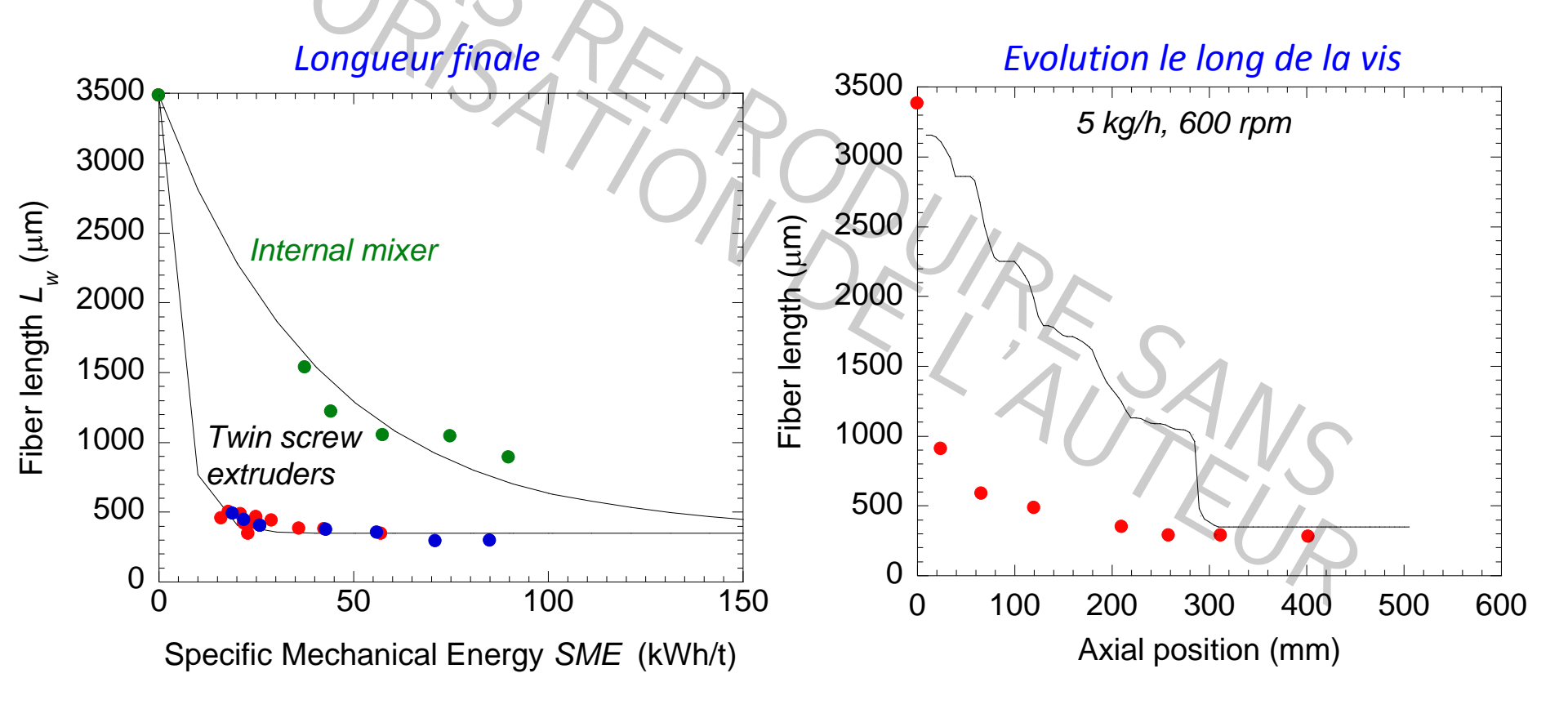


Ville et al., Inceoglu et al.

Modélisation globale de la casse des fibres

Modèle de Shon, Liu, White modifié avec Energie Mécanique Spécifique SME

$$L_n(t) = (L_0 - L_\infty) \exp(-k'SME) + L_\infty$$

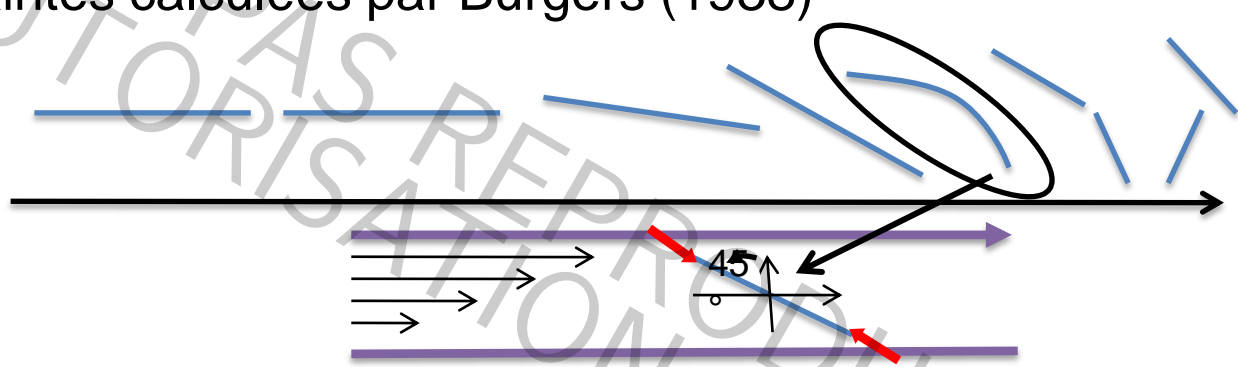


Modèle mécanistique

Casse des fibres en écoulement de cisaillement (Forgacs et Mason, 1959)

Mouvement décrit par Jeffery (1922)

Contraintes calculées par Burgers (1938)



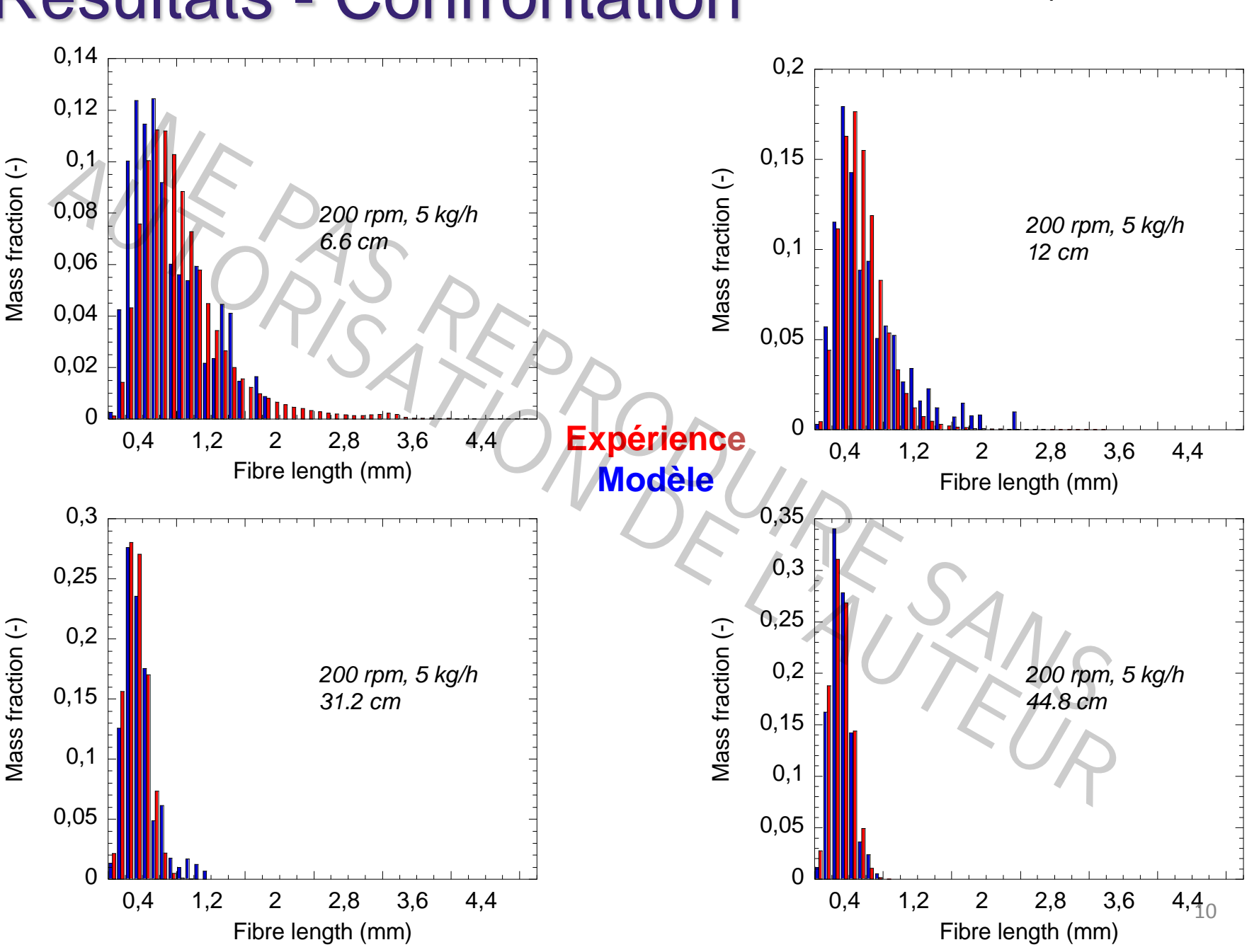
Hypothèses principales :

- écoulement de cisaillement
- rotation sans le plan de cisaillement
- forces appliquées aux extrémités des fibres
- flambage = casse *vrai pour des fibres sans défauts*

Mais les vraies fibres ont des défauts !

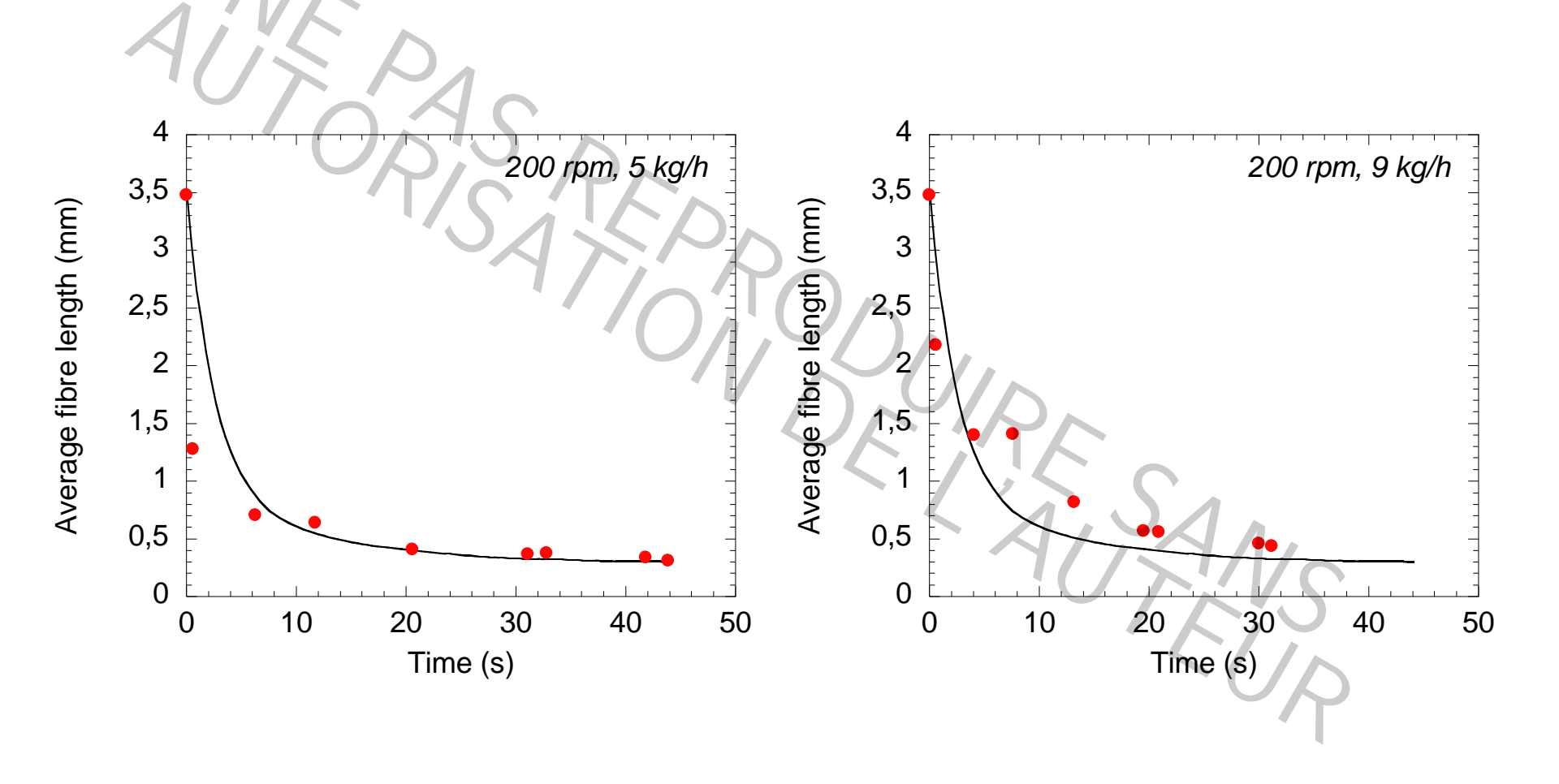
- seuil de flambage pour la casse
- rupture pas nécessairement au milieu

Durin et al., Comp. Part A, 2013



Modèle mécanistique

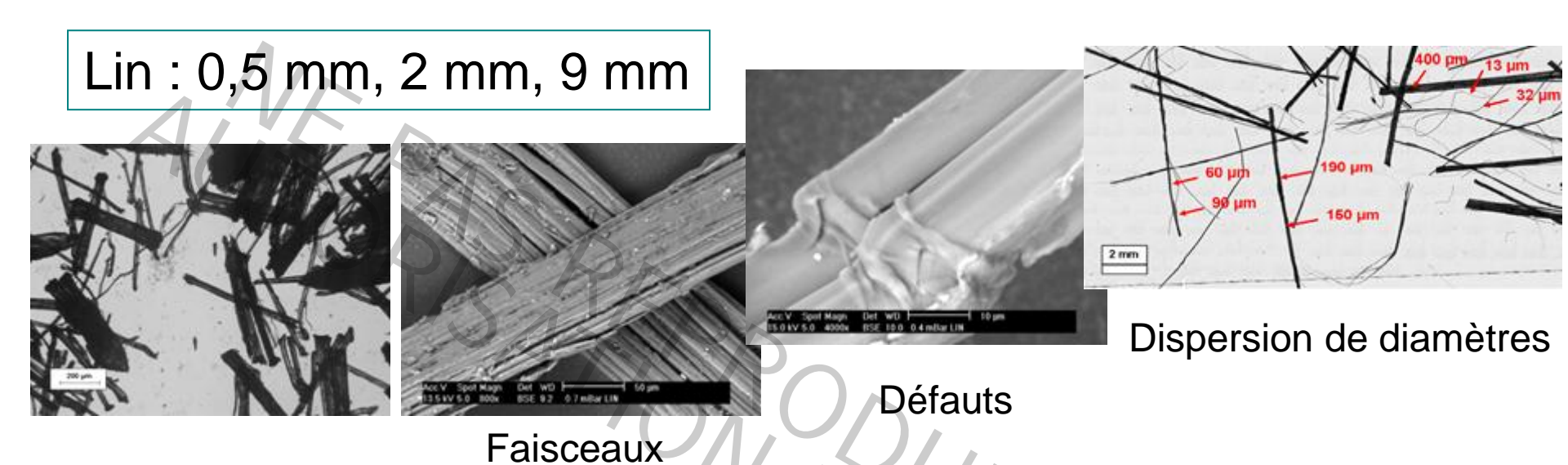
Comparaison avec l'expérience, longueurs moyennes





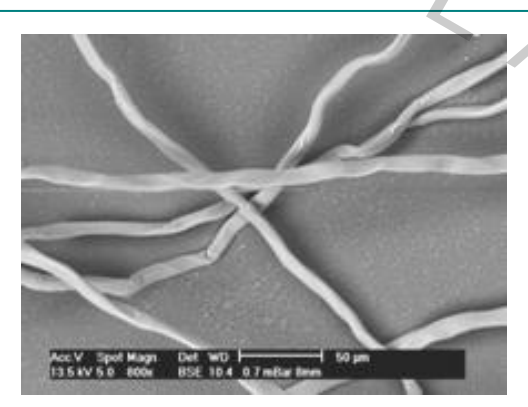
Evolution de la longueur en extrusion bivis Mécanismes de casse

Spécificités des fibres végétales



Fibres Tencel®: 0,5 mm, 2 mm, 6 mm, 8 mm



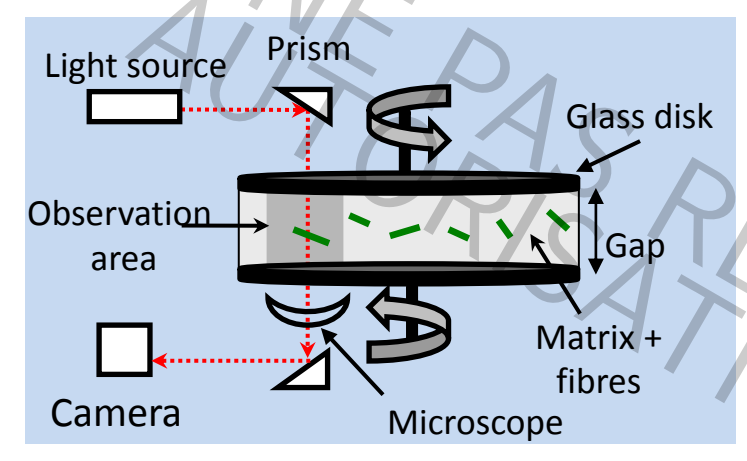


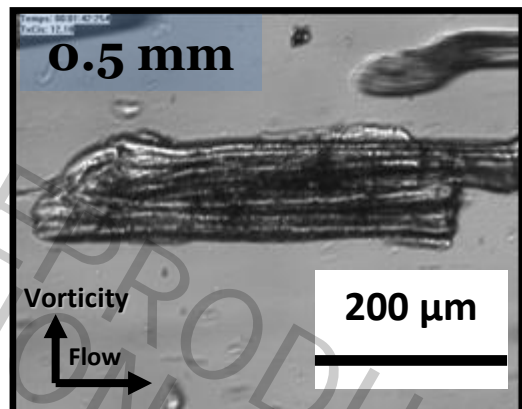
Diamètre homogène

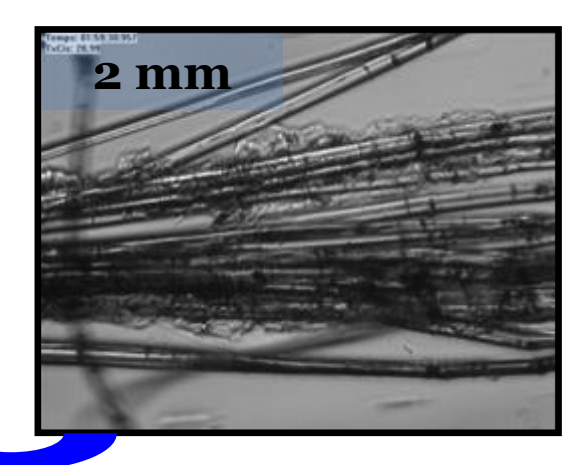
 $d = 10-11 \mu m$

Rhéo-optique : fibres de lin

Longueur initiale: 0.5 mm, 2 mm, 9 mm)



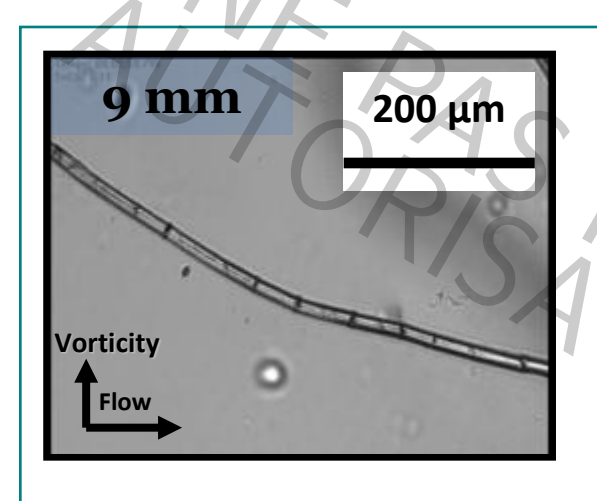




Same cumulated strain and cumulated mechanical energy

- Dissociation des faisceaux courts plus difficile
- Grande variabilité des faisceaux (taux de lignine...)
- dissociation des faisceaux <u>puis</u> rupture longitudinale

Casse des fibres de lin (9 mm)

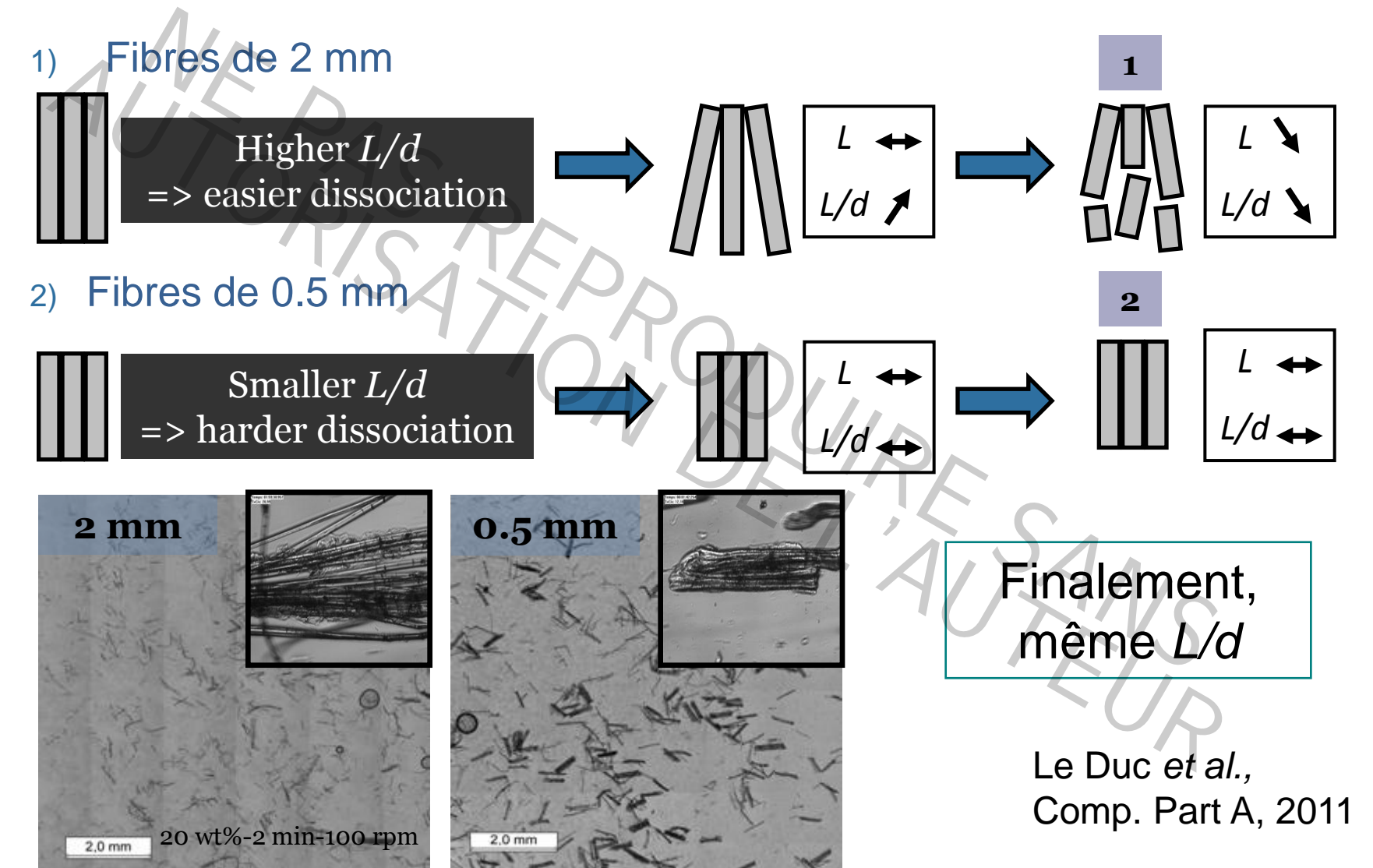






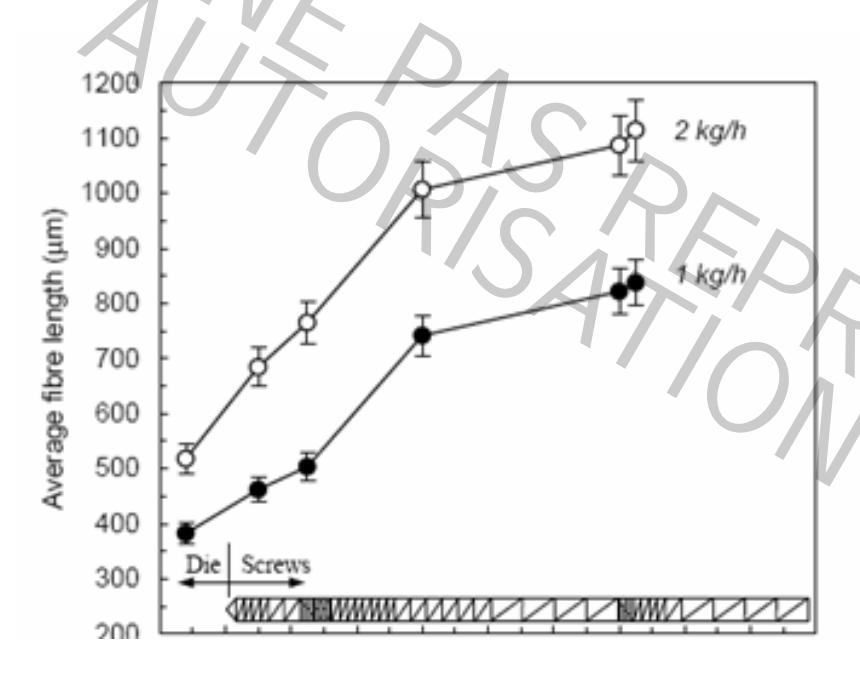
- Rupture par fatigue, aux « défauts »
- Peu d'agglomérats

Influence de la taille initiale (lin)

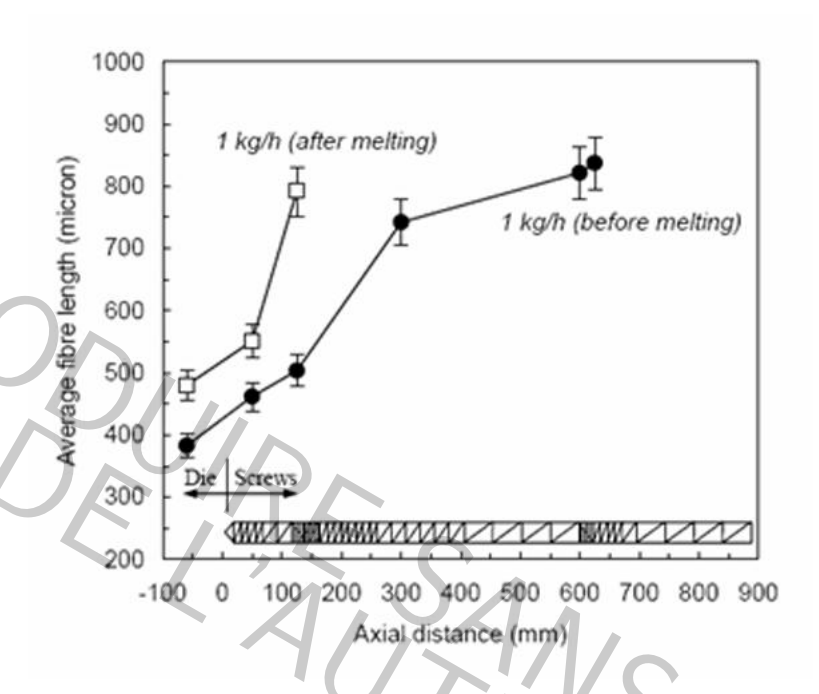


Evolution des longueurs le long des vis

Chanvre (3 mm) + caprolactone

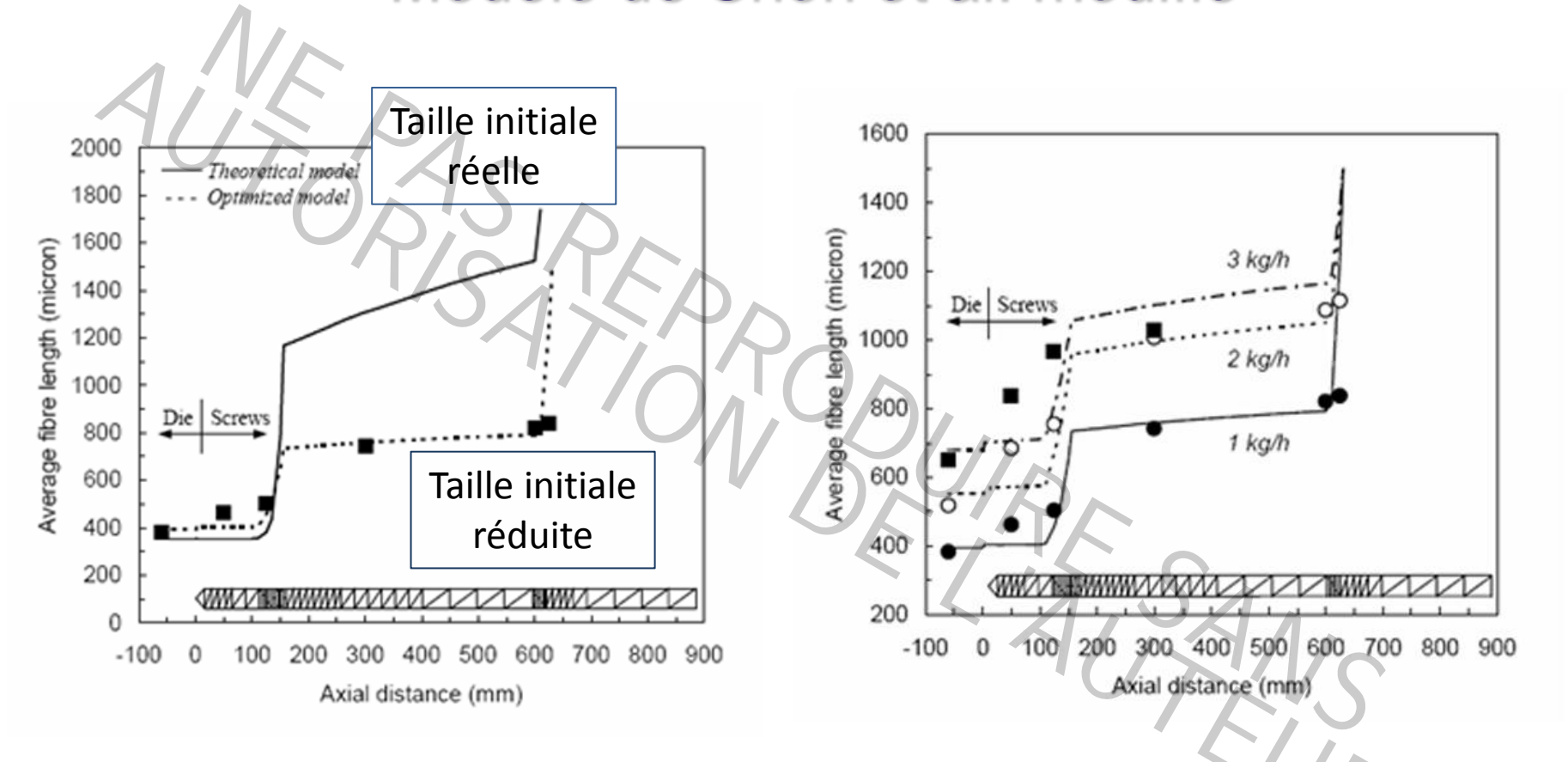


Fibres et matrice introduites au même point



Fibres et matrice introduites au même point ou après la fusion

Modélisation de la casse des fibres végétales Modèle de Shon et al. modifié

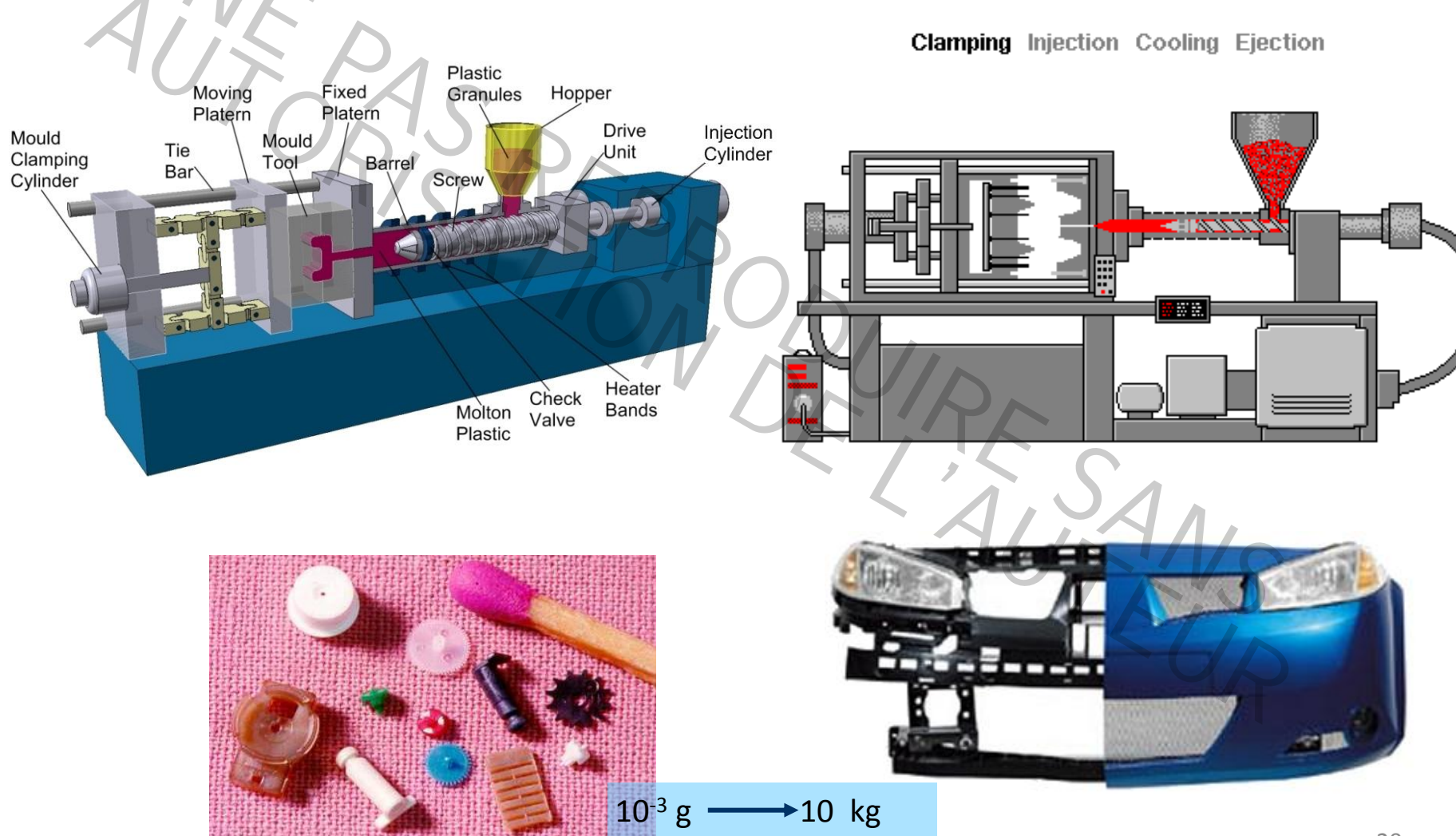


Bon paramètre : SME ou déformation cumulée ?



L'injection des polymères

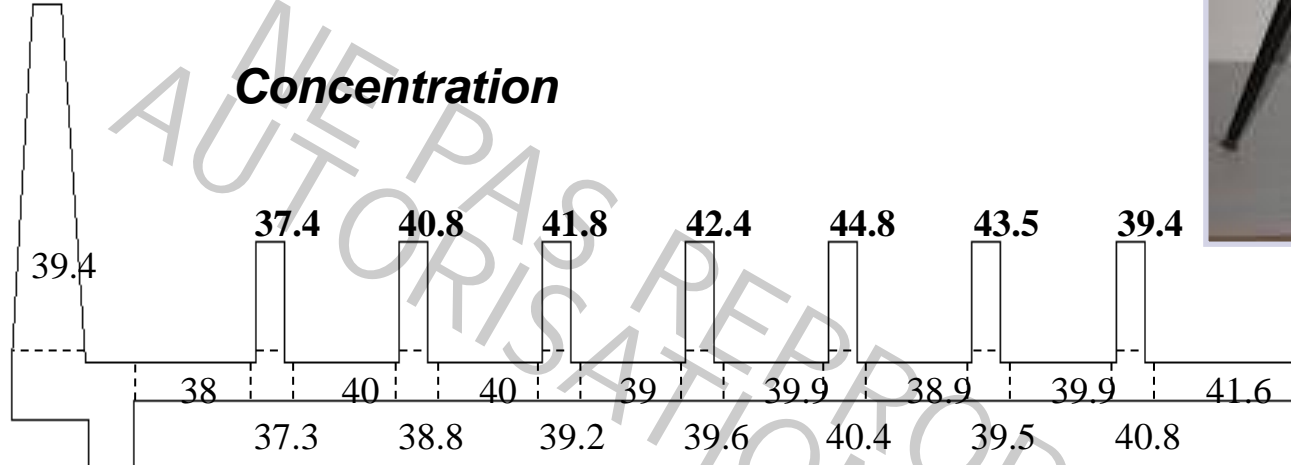
- Procédé haute pression (2000 bar / 200 MPa)
- Temps de cycle : 3 s 2 min





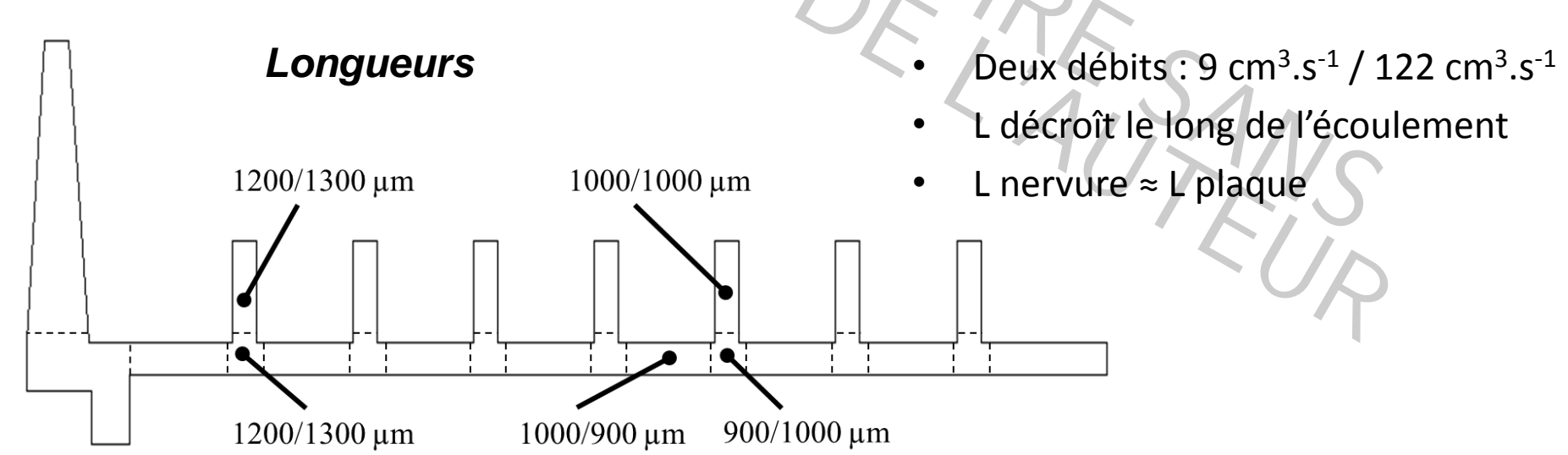
Concentration - Longueur

PP + fibres de verre

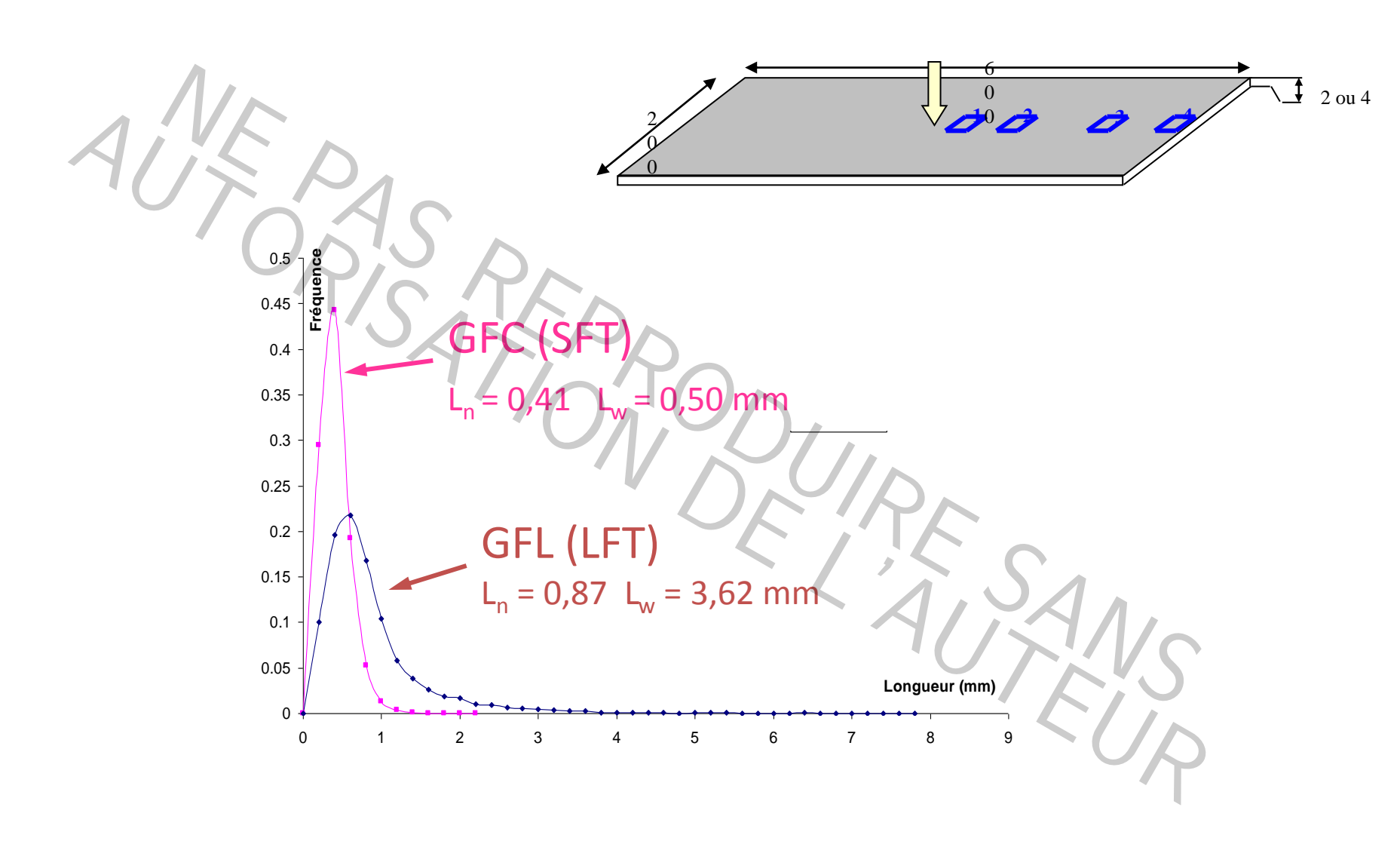




Plaque Arkema



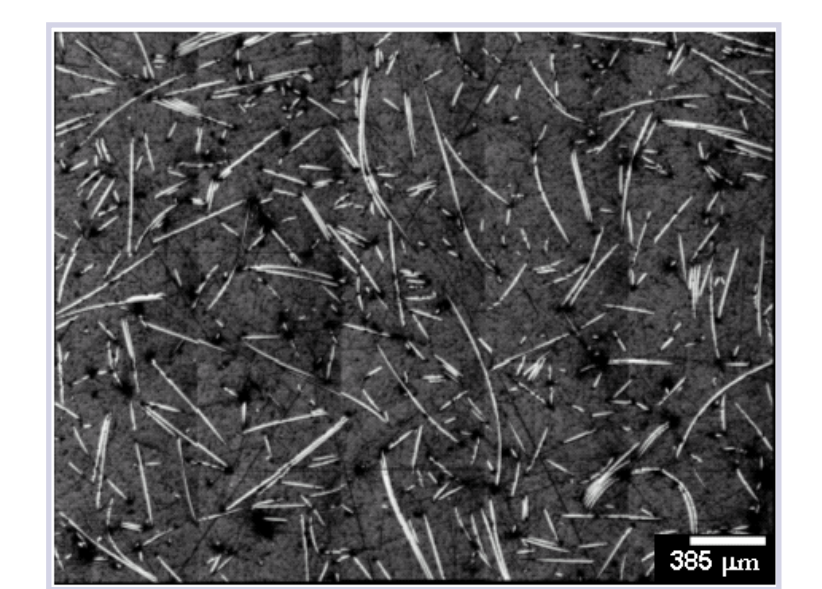
Distribution des longueurs

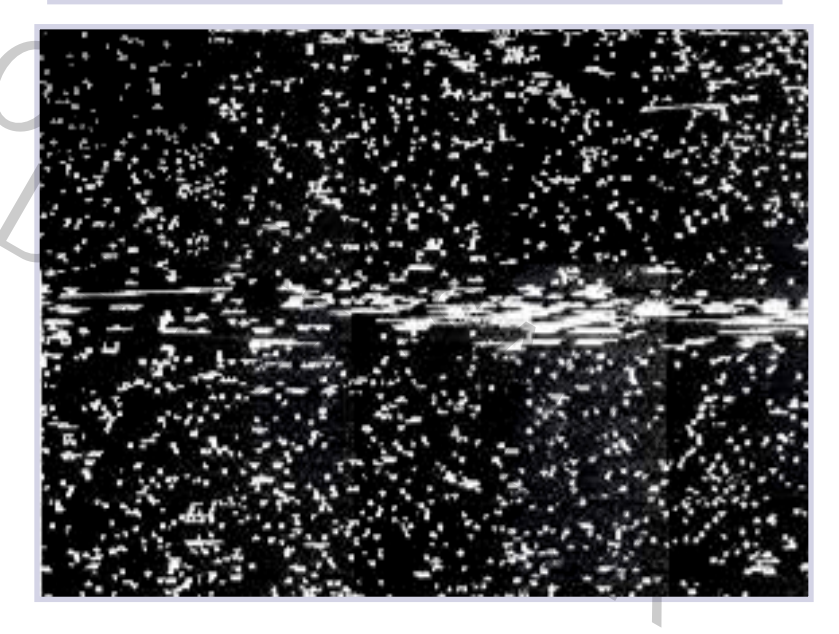


Orientation des fibres de verre



// direction de l'écoulement





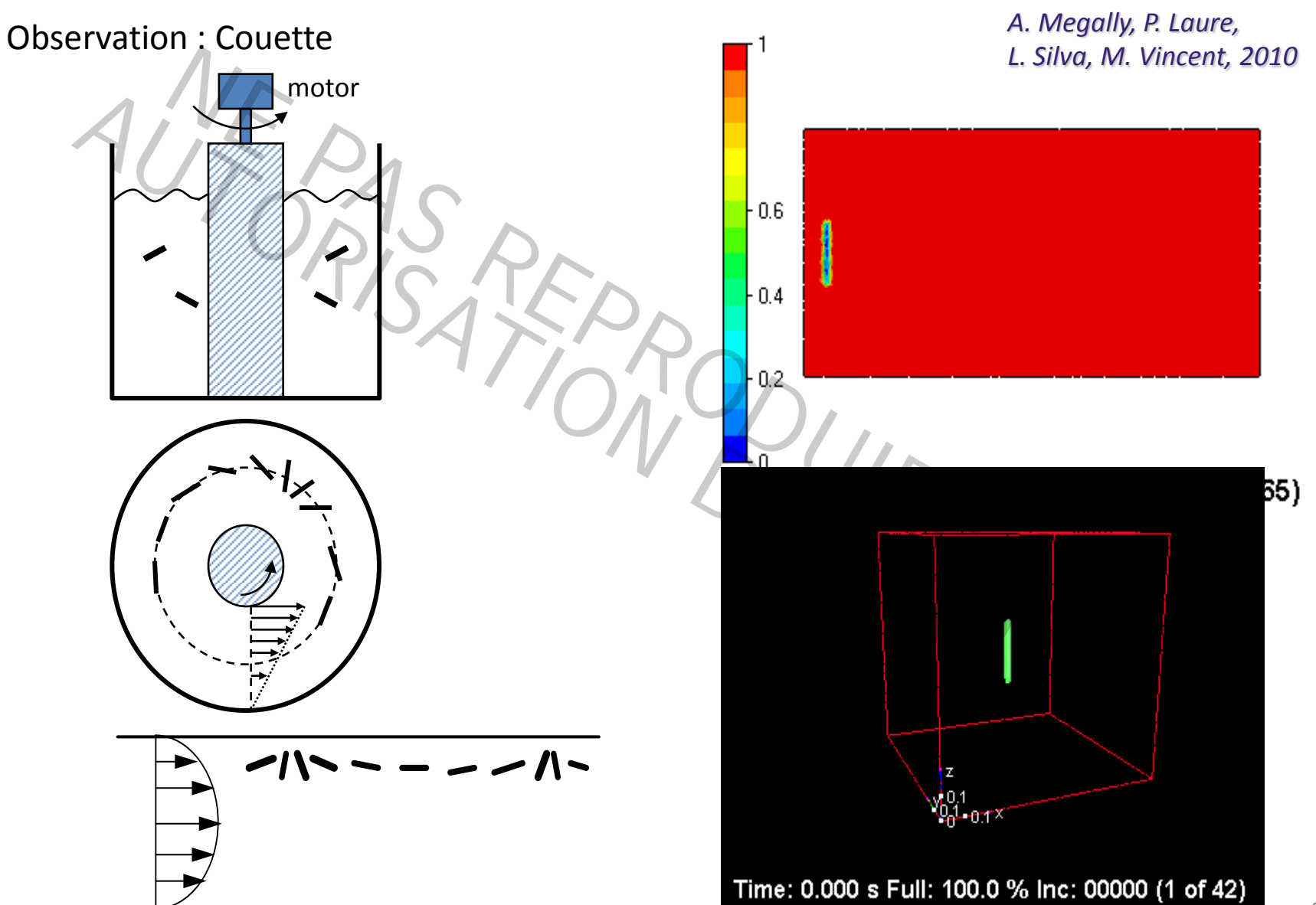
⊥ direction de l'écoulement



Orientation dans l'épaisseur

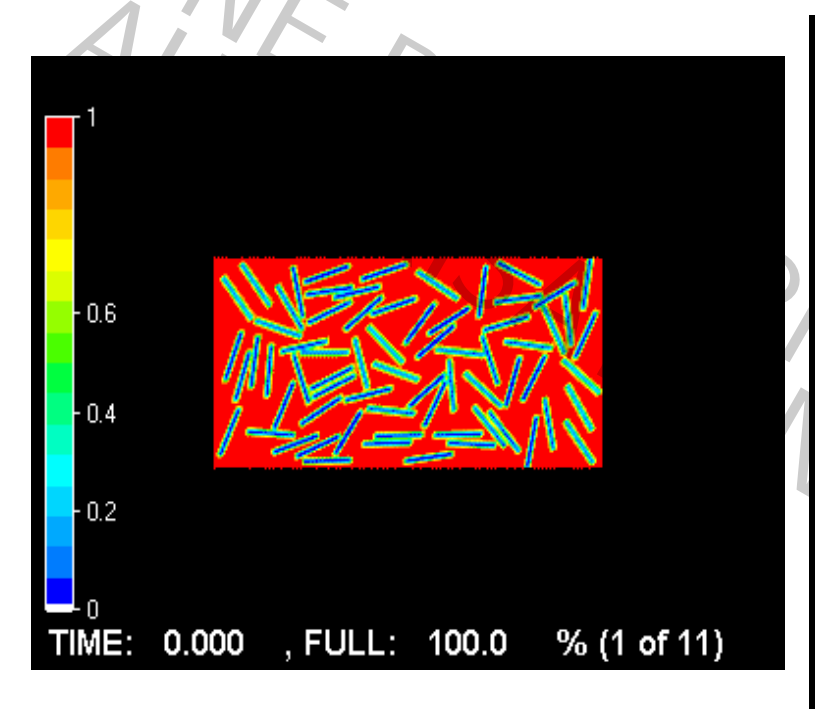
Fibres courtes (Polyarylamide, 30 %) Χ 2 mm L=20 mm **50000** fibres $a_{ij} = \int \psi(\mathbf{p}) p_i p_j d\mathbf{p}$ 0,6 ▲ 1.1 mm axx ∆1.7 mm 0,4 0 3 mm □ 5 mm 0,2 Direction de l'écoulement 0 0 0,2 0,4 0,6 8,0 **Dimensionless thickness**

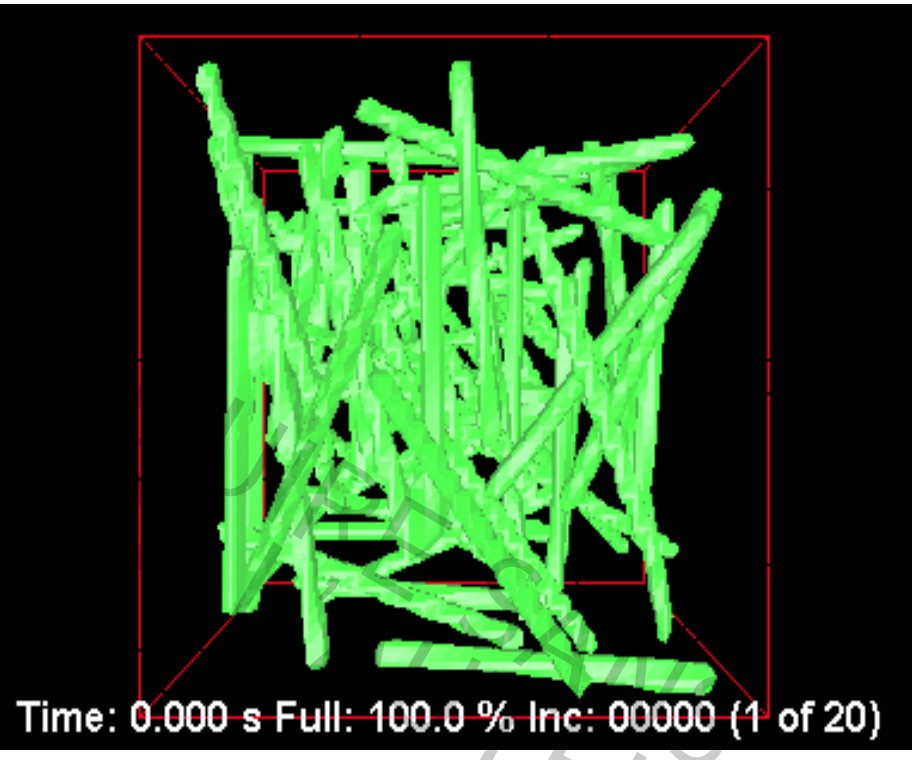
Orientation en cisaillement



Plusieurs fibres: interactions

Calcul direct (Megally et al.)





Écoulement élongationnel





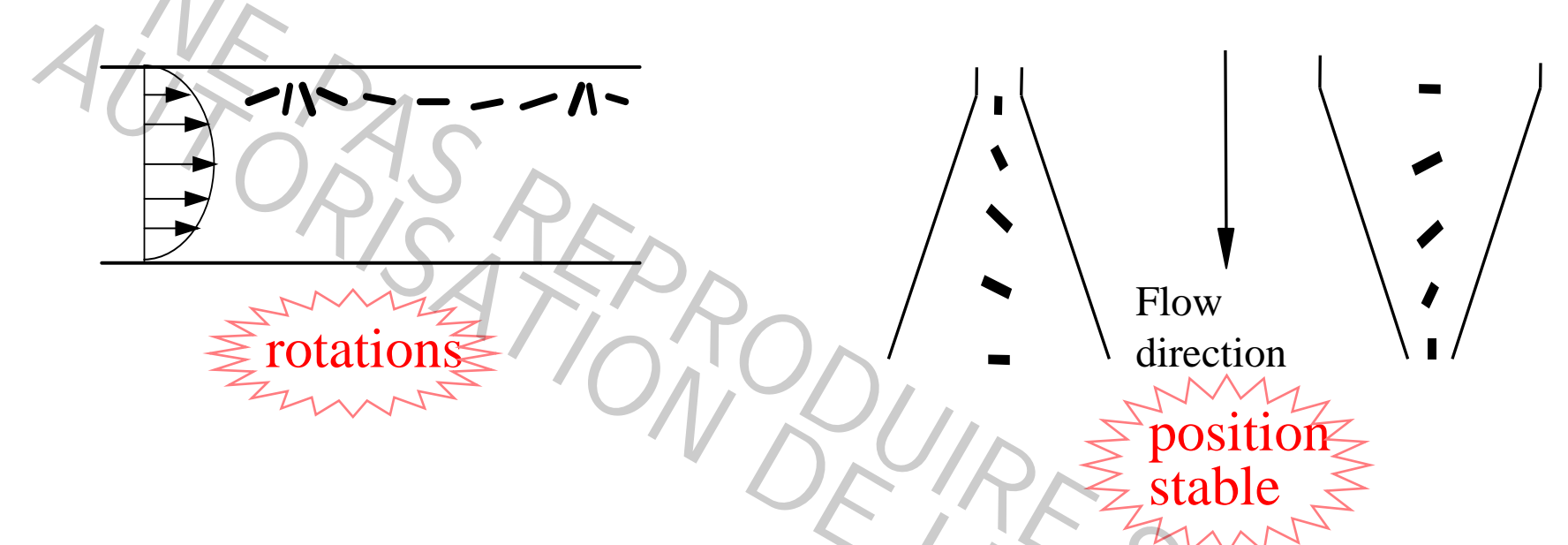
PS + quelques fibres

PP fibres longues

Règles d'orientation : résumé

Ecoulement de cisaillement

Écoulement élongationel



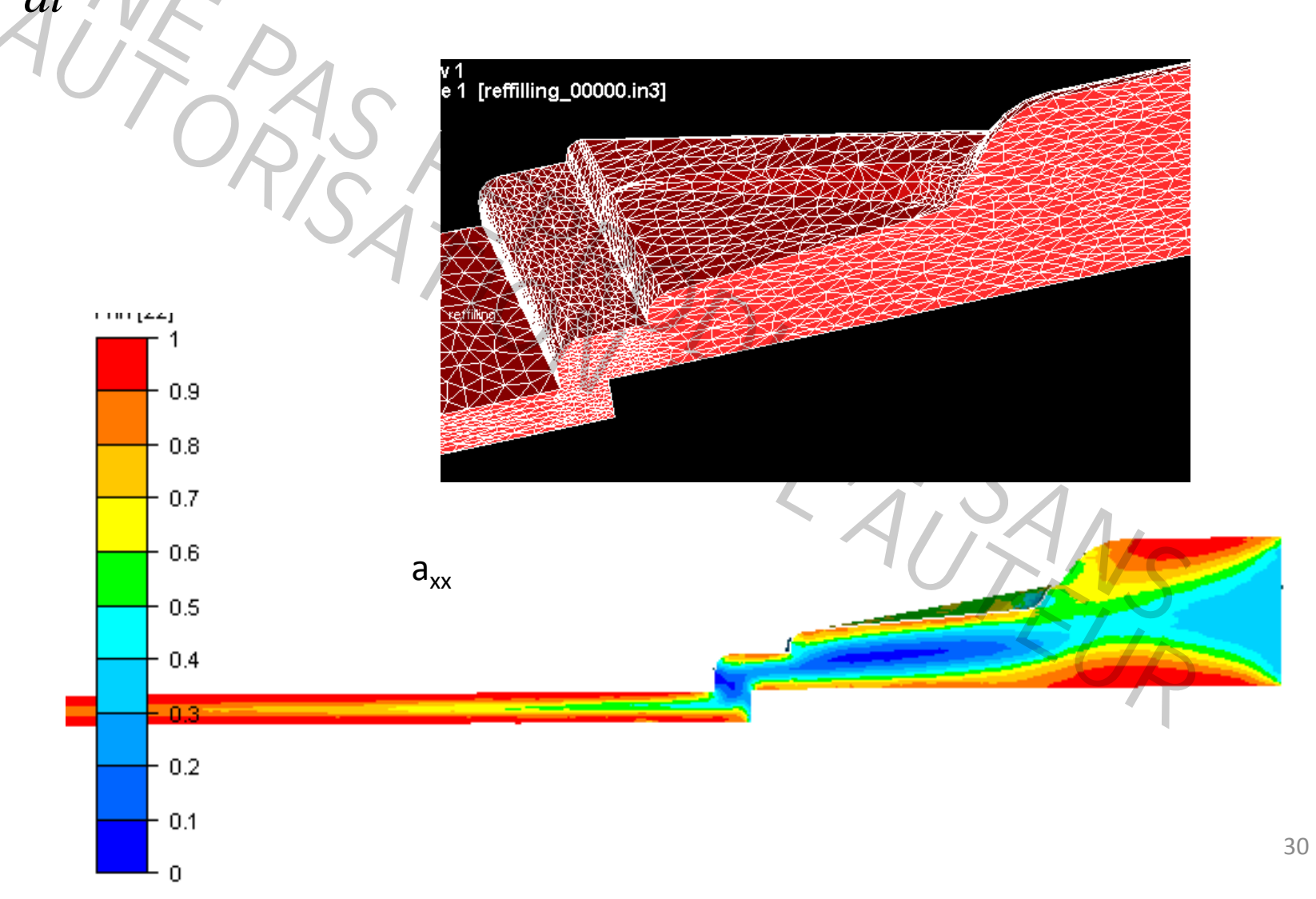
situation réelle complexe :

écoulement combinaison de cisaillement et élongation

 \rightarrow orientations // ou \perp

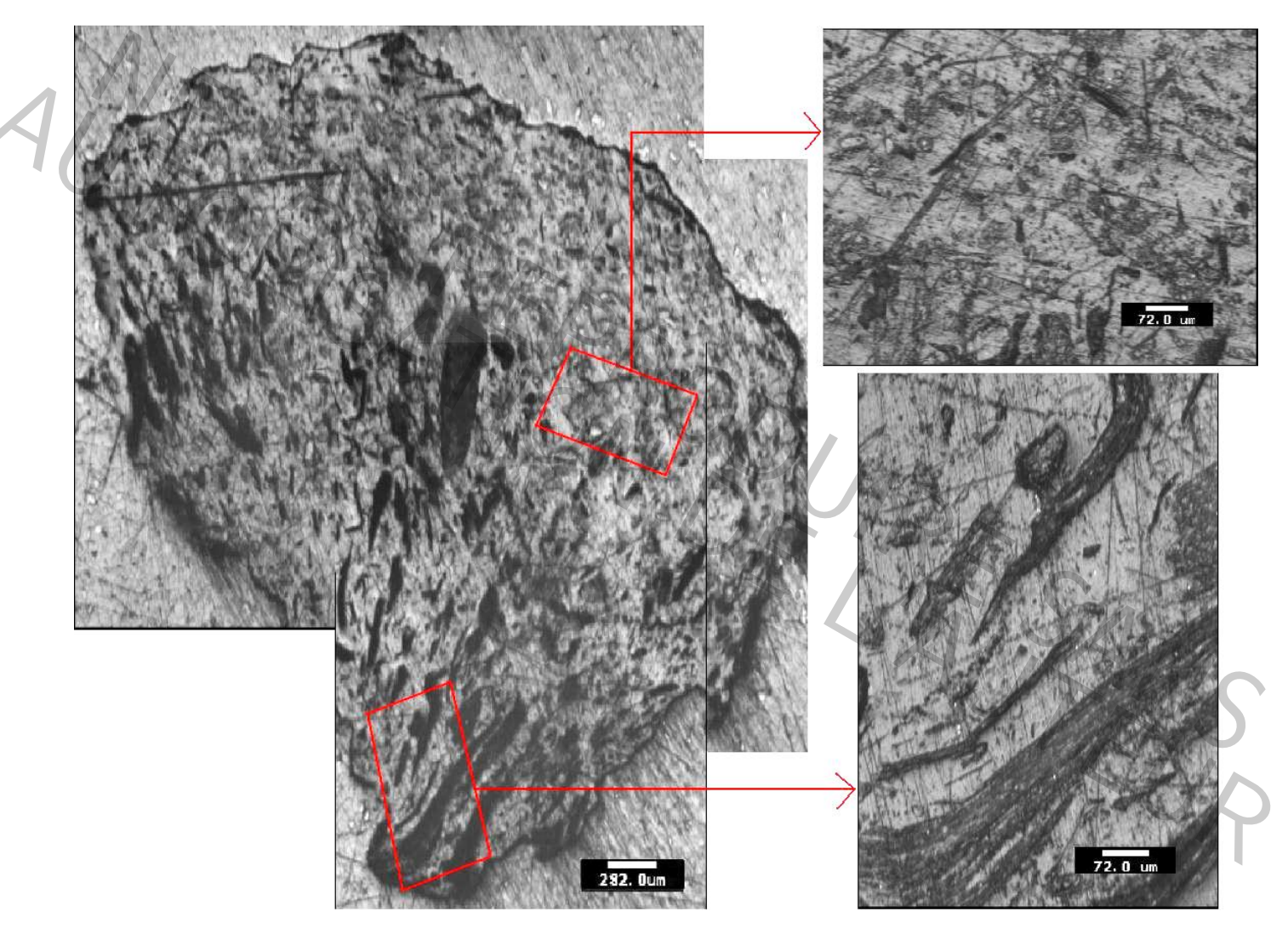
Calcul de l'orientation

$$\frac{d\mathbf{a}_{2}}{dt} = \Omega \cdot \mathbf{a}_{2} - \mathbf{a}_{2} \cdot \Omega + \lambda \left(\dot{\mathbf{\epsilon}} \cdot \mathbf{a}_{2} + \mathbf{a}_{2} \cdot \dot{\mathbf{\epsilon}} - 2\dot{\mathbf{\epsilon}} : \mathbf{a}_{4} \right) + 2C_{I} \dot{\overline{\gamma}} \left(\mathbf{I} - 3\mathbf{a}_{2} \right)$$



Fibres naturelles : les granulés

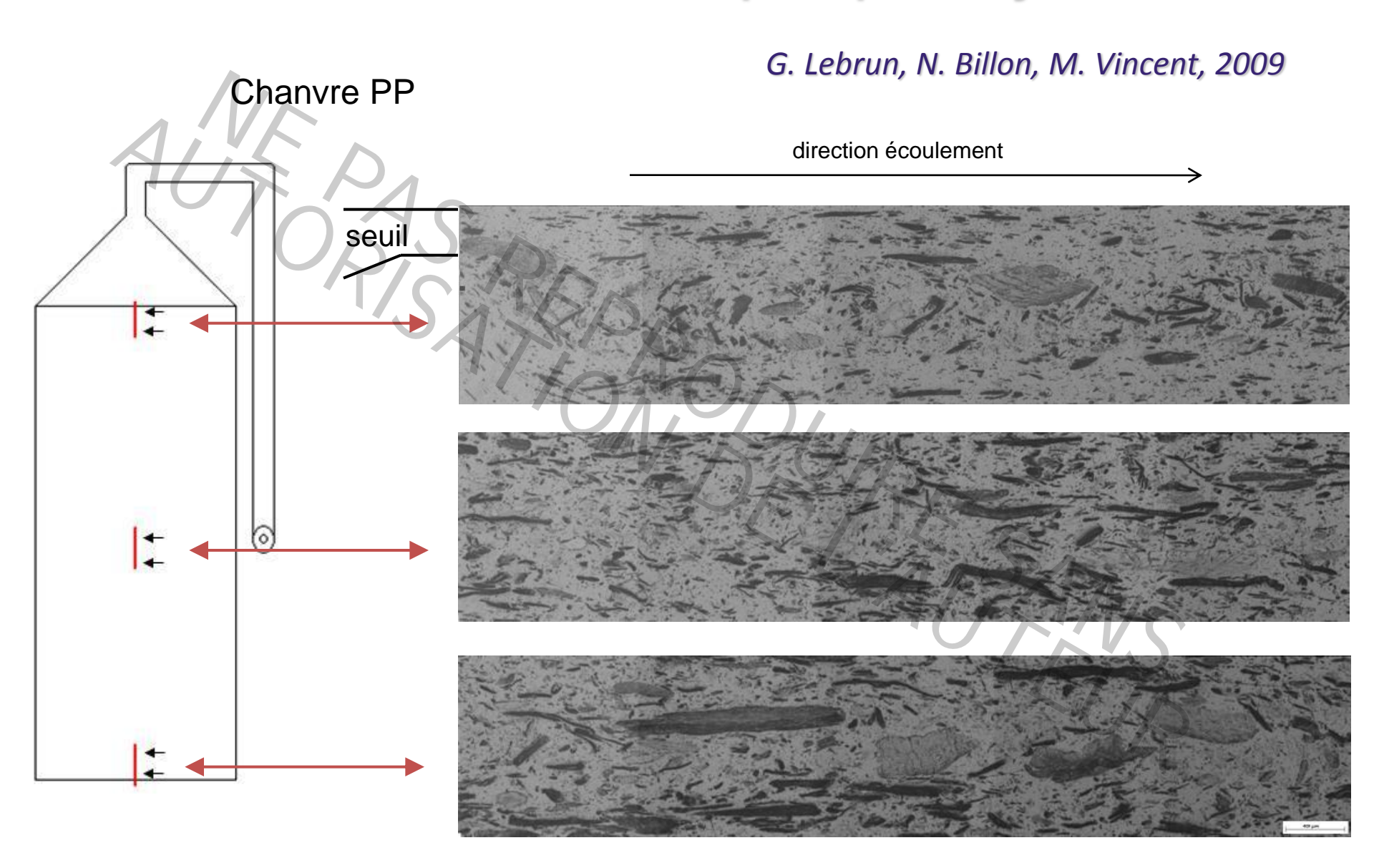
PP/30% chanvre



Faisceaux → mauvaise dispersion

diamètre maximum apparent = 200 µm longueur maximum apparente = 1 mm

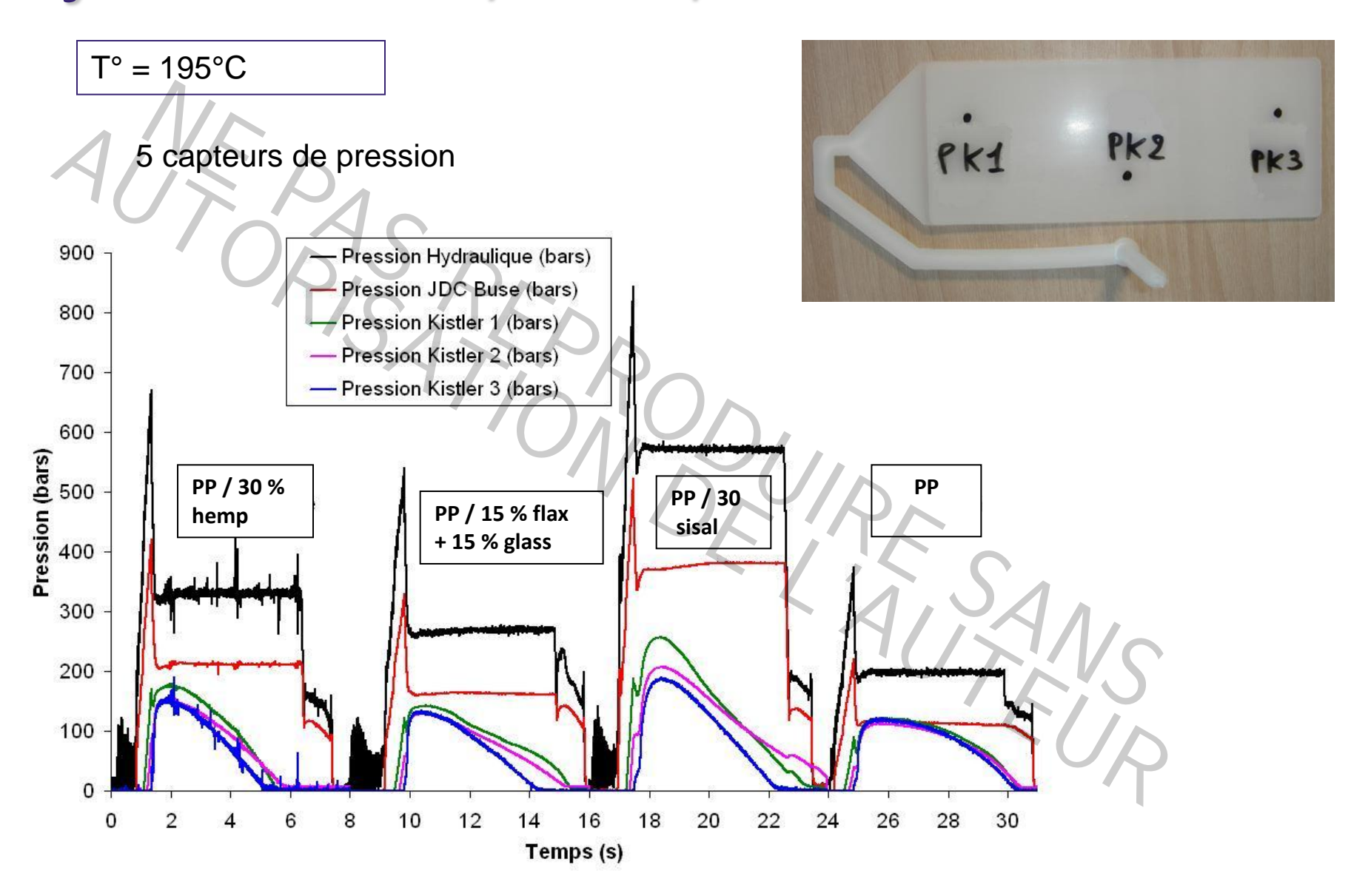
Observation d'une plaque injectée



Polypropylène + fibres de lin



Injection: analyse des pressions



Conclusion

Mélange

Fibres de verre : mécanismes de casse assez bien compris

Fibres naturelles: compoundage (dosage)

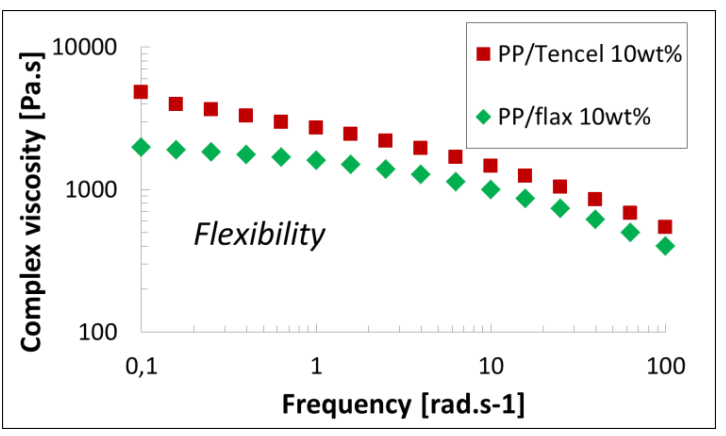
observations délicate : dissolution, faisceaux/fibres, quantification mécanismes pas entièrement compris

Injection

Fibres de verre :

bon transport orientation quantifiable modèles d'orientation assez efficaces modèles rhéologiques perfectibles

Fibres végétales



homogénéité de concentration ? orientation : structure complexe, flexibilité modèles : fibres flexibles, hétérogénéité de L,D